10-8 地盤

10-8 地盤

存在・供用時における造成地の存在(盛土等)に伴う地盤沈下の影響が考えられるため、 計画地周辺に及ぼす影響について予測及び評価を行った。

1 調査

1)調査内容

(1) 地盤沈下の状況

計画地及びその周辺における地盤沈下の状況とした。

(2) 地形・地質の状況

地質構造、及び圧密沈下を予測する上で必要なパラメータとなる土質とした。

(3) その他の予測・評価に必要な事項

揚水量等の地下水利用及び土地利用状況とした。

2)調査方法

(1) 地盤沈下の状況

「平成24年度水準測量成果表」(埼玉県ホームページ)等の既存資料の整理とした。

(2) 地形・地質の状況

「平成22年度 地質調査業務委託(杉戸町屏風・深輪地区)報告書」(平成23年3月、埼玉県企業局・株式会社ゼネラルボーリング)のボーリング等調査(標準貫入試験、孔内水平載荷試験、現場透水試験を含む)及び土質試験によった。

また、「土地分類基本調査(地形分類図、表層地質図)」(昭和50年、埼玉県)等の 既存資料の整理・解析によった。

(3) その他の予測・評価に必要な事項

揚水量等の地下水利用状況については、「平成 22 年月別地下水採取量」(埼玉県ホームページ)、「平成 24 年地盤沈下・地下水位観測年報」(平成 25 年 3 月、埼玉県環境部)等の既存資料の整理・解析によった。

土地利用状況については、地形図、航空写真等の既存資料の整理・解析によった。

3)調査地域·地点

調査地域は、計画地内とした。ボーリング等調査地点は、図 10.8.1 に示すとおりである。

4)調査期間・頻度

ボーリング等調査の現地調査期間は、平成21年1月20日~3月25日である。



図 10.8.1 ボーリング等調査地点位置図

5)調査結果

(1) 地盤沈下の状況

計画地の近接地では、表 10.8.1 に示すとおり、計画地北西部に位置する八幡神社境内 (杉戸町大字屏風 115) において、継続的に水準測量が行われており、平成 25 年 1 月 1 日から過去 5 年間の変動量は-58mm である。

なお、平成23年1月1日~平成24年1月1日の数値の大きな変動は、平成23年3月11日の東日本大震災による影響と想定される。

表 10.8.1 計画地近接地における地盤変動量

基標番号 49-23 所在地					杉戸町大字屏風 115(八幡神社境内)			
	$\hat{\imath}$	S 年別変動量	過去5年間の変動量	H25.1.1の真高				
H20.1.1∼	H21.1.1∼	H22.1.1∼	H23.1.1∼	H24.1.1∼	H20. 1. 1∼H25. 1. 1	(T. P.)		
H21.1.1	H22.1.1	H23.1.1	H24.1.1	H25.1.1	(mm)	(m)		
+4	+5	-15	-51	-2	-58	7. 577		

資料:「平成24年度水準測量成果表」(埼玉県ホームページ)

(2) 地形・地質の状況

①地形の状況

計画地及びその周辺の地形分類図は、「第3章 地域特性 3-2 自然的状況 3-2-4 地 形及び地質の状況 1)地形の状況」(p.133~135 参照)に示したとおりである。

計画地周辺は、火山灰台地と、氾濫原(後背湿地)、自然堤防、旧流路跡(旧河道)で形成された低地で構成されている。このうち、計画地は、大部分が氾濫原(後背湿地)に分類され、一部、自然堤防、旧流路跡(旧河道)が含まれた平坦地である。

計画地の平均地盤高は 5.7~6.8m程度であり、現在は主に農耕地(水田)として利用されている。

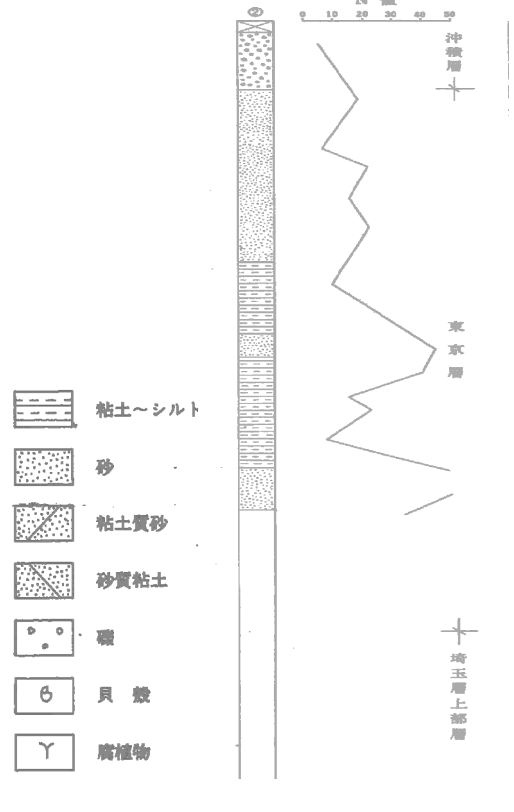
②地質の状況

ア 既存資料調査

計画地及びその周辺の表層地質図は、「第 3章 地域特性 3-2 自然的状況 3-2-4 地 形及び地質の状況 2)地質の状況」 (p. 133~137) に示したとおりである。

計画地周辺の表層地質は、砂泥堆積物(氾濫原)、砂質堆積物(自然堤防)、泥質堆積物(後背湿地)などを中心とした未固結堆積物と、ロームにより形成されている。

計画地の南東約 2.3km 付近の地質柱状断面図 (図 10.8.2 参照) によると、地表から 4m付近までは礫層、それ以下は砂層が15m付近までみられた。



資料:「表層地質図(水海道)」(昭和55年、埼玉県) 図 10.8.2 計画地及びその周辺における地質柱状図

イ 現地調査

(ア)ボーリング調査結果

計画地内のボーリング調査により求めた計画地の地質層序表は表 10.8.2、土質試験結果は表 10.8.3 に示すとおりである。また、計画地内の推定地質断面図は図 10.8.3 に示すとおりである。なお、ボーリング調査結果の詳細は、資料編「第4章 地盤 10-1 現地調査結果 1 ボーリング調査」 (p. $195\sim205$) に示すとおりである。

計画地内の地質は、大きく表土層、完新世・沖積層、更新世・洪積層に区分される。 表土層(S)は、層厚 0.20~0.70mであり、土質は全体にシルト質土主体の農耕土であった。 N値については層厚が不足のため、実測値は得られなかった。

その下層の沖積層では、粘性土層、砂質土層が互層を呈しており、N値は、第 $1\cdot 2$ 粘性土では $0\sim 4$ 、第 $1\cdot 2$ 砂質土では $0\sim 22$ であった。

さらに下層の洪積層においても砂質土層、粘性土層が互層を呈しており、N値は、第 $1\sim4$ 砂質土では $2\sim50$ 以上、第 $1\sim2$ 粘性土では $5\sim22$ 、砂質土と粘性土の互層では $6\sim50$ であった。

表 10.8.2 地質層序表

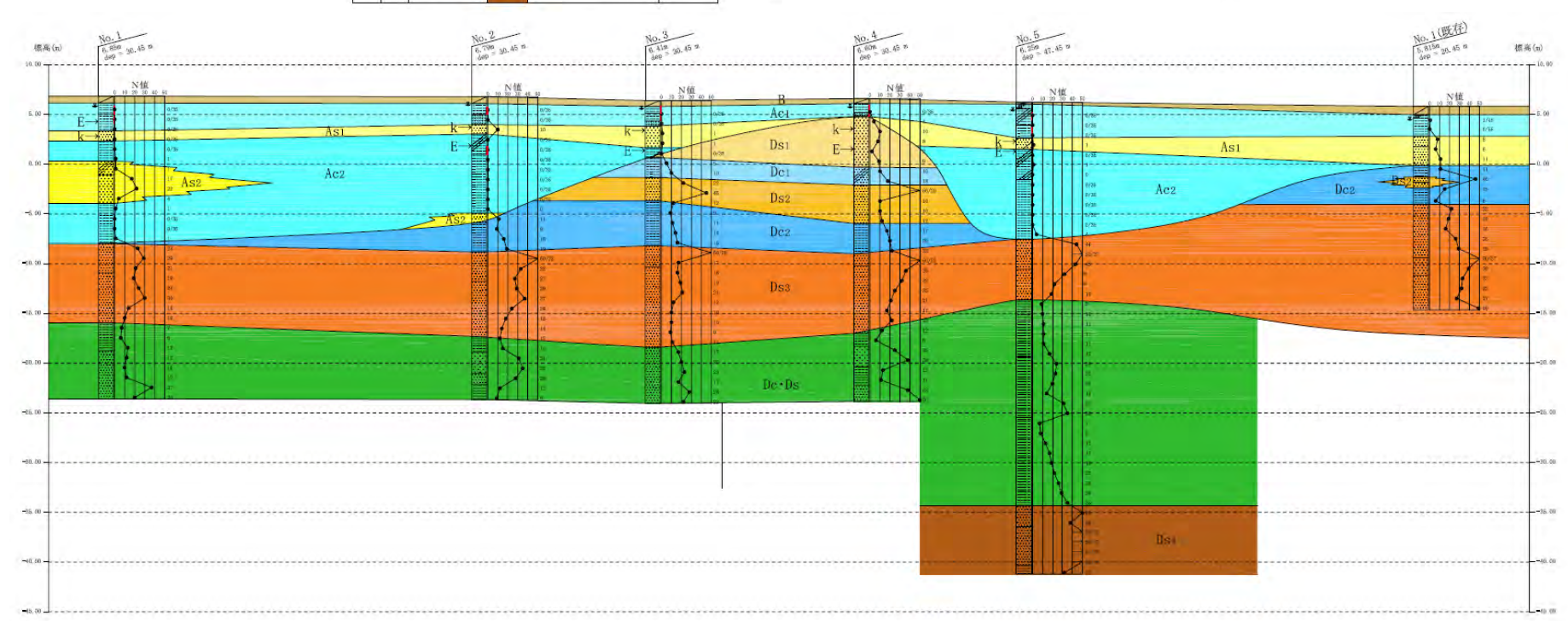
			1			以具借序衣	1
地質	時代	地層名	記号	層厚(m) (下限深度)	N値 (平均)	主な土質	特徴
現	世	表土	В	$0.20 \sim 0.70$ $(0.20 \sim 0.70)$	_	シルト シルト質粘土 有機質シルト	シルト質土主体。上部、水田。
		第 1 粘性土	Ac1	1.30~3.40 (1.80~3.60)	0 (0)	シルト 腐植土 有機質シルト 粘土質シルト	非常に軟らかい粘性土。含水中位~ 多量。全般に腐植物多量混入。No. 1 のみ下部所々砂を不規則に挟む
	沖積	第 1 砂質土	As1	$0.95 \sim 2.15$ $(3.75 \sim 4.75)$	0~10 (2. 6)	細砂 中砂 シルト混じり細砂	非常に緩い~中位の砂質土。含水多量。No.3、No.5で腐植物多量混入。
	層	第 2 粘性土	Ac2	1.00~10.30 (5.75~14.80)	0~4 (0.3)	シルト 砂質シルト 砂混じりシルト	非常に軟らかい~軟らかい粘性土。 含水少量~多量。粒子不均一。所々、 砂分・雲母片少量混入。No. 2~No. 3 の下部で貝殻片少量混入
		第2 砂質土	As2	$ \begin{array}{c} 1.00 \sim 4.25 \\ (10.80 \sim 12.70) \end{array} $	1~22 (11)	細砂 中砂 シルト質中砂	非常に緩い〜中位の砂質土。含水多量〜非常に多い。粒子細かく〜粗く 不均一。腐植物少量混入。
		第1 砂質土	Ds1	5. 10 (6. 90)	2~10 (6. 6)	中砂	非常に緩い~中位の砂質土。含水多量。粒子不均一。 上部、腐植物少量混じりのシルト薄く挟む。中部、粒子粗くなり、小礫~粗砂を混入する。
新生代		第 1 粘性土	Dc1	1.80~2.00 (7.75~8.70)	5~18 (10.7)	シルト シルト質微細砂	No.3 は中位の〜硬い粘性土。 含水少量。雲母片・軽石片少量混入。 所々、固結シルト薄く挟む。 No.4 は緩い〜中位の砂質土。含水 多量。粒子不均一。 全体にN値のバラツキがある。
第四紀		第 2 砂質土	Ds2	2. 35~3. 85 (10. 10~12. 55)	10~50以上 (24.8)	細砂	緩い〜非常に密な砂質土。 含水多量。粒子不均一。 No.3 で軽石片少量混入。固結シルト薄く挟む。 No.4の下部で小礫少量混入。
	洪積層	第 2 粘性土	Dc2	2. 90~4. 50 (14. 60~15. 60)	9~22 (15)	シルト	硬い〜非常に硬い粘性土。含水少量。雲母片少量混入。 No.3で砂分薄く〜多く挟む。 No.4で固結シルト薄く挟む。
		第 3 砂質土	Ds3	6. 10~10. 20 (19. 90~24. 80)	9~50以上 (25)	微細砂細砂	緩い〜非常に密な砂質土。含水多量。粒子不均一。所々、シルト不規 則に薄く挟む。雲母片少量混入。 下部、貝殻片少量混入。
		砂質土 ・ 粘性土 (互層)	Ds	5. 65~20. 70 (30. 45~40. 60)	6~50 (19. 5)	細砂 貝殻混じり砂	緩い~密な砂質土。 含水多量。粒子粗く~やや粗く不均一。雲母片・貝殻片少量~多量混入。 下部、固結砂薄く挟む。下部、小礫 少量混入。所々、シルト不規則に薄 く挟む。
		<u> </u>	Dc			シルト 硬質シルト	中位の〜固結した粘性土。含水少量。雲母片・貝殻片・砂分少量混入。 所々、微細砂薄く挟む。
		第 4 砂質土	Ds4	6. 85 (47. 45)	32~50 以上 (45. 7)	微細砂 細砂 シルト	密な〜非常に密な砂質土。含水多量。 粒子不均一。所々、シルト分少量混 入。47.45m〜、シルト主体となる。
7/h	料・	F 377 - 12 0.0	H 150	IIL FF === + + + > + ->		• 深輪地区) 報告書	.

資料:「平成22年度 地質調査業務委託(杉戸町屛風・深輪地区)報告書」

(平成23年3月、埼玉県企業局・株式会社ゼネラルボーリング)



断面図凡例 (m) Act-① ポーリング番号 ② 地盤高 ③ 周查深度 ④ 孔内水位 Ac2-6 ⑥ 試料採取 ⑥ 孔内水平载荷試験 ② 現場透水試験 ⑧ 地層記号 ② N值 ⑩ 地層埃界線 ① A催折線 De De



資料:「平成 22 年度 地質調査業務委託 (杉戸町屛風・深輪地区) 報告書」 (平成 23 年 3 月、埼玉県企業局・株式会社ゼネラルボーリング) 図 10.8.3 地層想定断面図

表 10.8.3 土質試験結果一覧

			_					,	,	·	F	_
	地層	記号	Ac1	Ac1	Ac1	Ac2	Ac1	Ac1	Ac1	Ac1	Ac1	Ac1
	N1	<u></u> 直	0	0	0	0.3	0	0	0	0	0	0
	試料	番号	1-T1	1-T2	2-T1	2-T2	3-T1	3-T2	4-T1	4-T2	5-T1	5-T2
	深さ	(m)	1~1.8	2~2.8	1~1.8	5∼5.8	0.6~1.3	1.3~2	0.7~1.4	1.4~1.8	1~1.8	2.5~3.3
	湿潤密度	(ρ_t) g/cm ³	1. 576	1.74	1.031	1. 596	1. 153	1.36	1. 224	1. 177	1. 133	1.384
	乾燥密度	(ρ_d) g/cm ³	0. 957	1. 197	0. 154	0. 971	0.319	0.642	0.417	0. 354	0. 29	0.641
一般	土粒子の	密度(ρ _s)g/cm³	2. 624	2.713	1.71	2. 657	2.078	2. 518	2. 316	2. 284	2. 025	2. 578
加又	自然含水	比 (ω _n) %	62. 2	43.5	580. 7	69. 7	259. 4	104	202. 1	247. 3	270. 4	109. 1
	間隙比(e)	1.747	1. 267	10. 28	1.742	5. 628	2. 977	4. 615	5. 509	6. 124	3.064
	飽和度(S _r) %	97. 4	97. 1	96. 3	98.6	98. 6	96. 5	98. 4	97. 4	98. 3	98. 9
	礫分 (2~	~75mm) %	0	0	0	0	0	0	0	0	0	0
	砂分(75	μm~2mm) %	2. 6	63. 1	1	30	0.3	0.2	0.2	0.5	2. 2	0.4
粒度	シルト分(5	∼75 µ m) %	31. 7	16. 3	43. 3	32. 6	40.8	27. 3	48.5	41	37. 1	40. 4
型及	粘土分(5μm未満)%	65. 7	20.6	55. 7	37. 4	58. 9	72. 5	51.3	58. 5	60. 7	59. 2
	最大粒径	最大粒径 (mm)		2	0. 25	2	0. 106	0.106	0. 106	0. 25	0.85	0. 25
	50%粒径	(mm)	0.0015	0. 12	0.0027	0.01	0.0024	_	0.0046	0.0025	0.0023	0.0032
	液性限界	(W _L) %	68	45. 9	544. 3	56. 6	412.9	120. 3	255. 9	269.8	283. 7	137
コンシス テンシー	塑性限界	(W _p) %	33. 4	28. 1	181. 4	31. 4	168. 4	48. 4	92. 3	107. 4	104.8	52. 4
特性	塑性指数	(I _p) %	34. 6	17.8	362. 9	25. 2	244. 5	71. 9	163. 6	162. 4	178. 9	84.6
14177	コンシステンシー	指数 (I _c)	0. 168	0. 135	-0. 1	-0. 52	0. 628	0. 227	0. 329	0. 139	0.074	0. 33
分類	地盤材料	の分類名	有機質土 (高液性)	細粒分質砂	泥炭	砂質シルト	泥炭	有機質土 (高液性)	有機質土 (高液性)	有機質土 (高液性)	泥炭	有機質土 (高液性)
	分類記号		(OH)	(SF)	(Pt)	(MHS)	(Pt)	(OH)	(OH)	(OH)	(Pt)	(OH)
	試験方法		段階載荷	段階載荷	段階載荷	段階載荷	段階載荷	段階載荷	段階載荷	段階載荷	段階載荷	段階載荷
圧密	圧縮指数	(C_c)	0.465	0.321	6. 943	0.788	3. 522	1.063	2.897	3. 424	3. 011	1. 277
	圧密降伏	応力(P _c)kN/m²	42. 4	285	23. 3	60. 2	33. 4	43. 3	29. 2	22. 9	34. 2	29. 2
一軸圧縮	一軸圧縮	強さ(q _u)kN/m ²	21.5/17.0	36. 2/40. 3	16. 2/24. 7	21.6/22.6	49. 4/30. 0	26.8/36.0	24. 2/25. 1	49. 0/28. 0	38.5/33.7	9.4/14.2
平田/工4州日	変形係数	(E_{50}) MN/m ²	0.33/0.29	1.30/1.07	0. 18/0. 29	0.65/0.58	0. 65/0. 57	0.48/0.66	0.45/0.43	0.54/0.48	0.63/0.73	0.26/0.35
	試験条件		UU	UU	UU	UU	UU	UU	UU	UU	UU	UU
三軸圧縮	全応力	粘着力 (C) kN/m²	11	13	10	16	19	12	13	19	17	5
	至心刀	内部摩擦角 (ø) °	7. 9	8. 3	3. 1	1.4	0.8	2.4	2.4	1.5	5	6.5
		地所细木类水 系到	/ · · · · · · · · · · · · · · · · · · ·							•		•

資料:「平成22年度 地質調査業務委託(杉戸町屏風・深輪地区)報告書」(平成23年3月、埼玉県企業局・株式会社ゼネラルボーリング)

(イ)土質定数の設定

第4砂質土

Ds4

土質定数は、「杉戸屏風深輪地区産業団地基本計画修正業務委託 基本設計報告書| (平成 26 年 3 月、埼玉県企業局地域整備事務所)において、計画地内でのボーリン グ調査結果及び各種試験により得たデータを元に設定されている。

その一覧は表 10.8.4 に示すとおりである。なお、設定の基準に用いた相関式・換算 式・推定方法等は表 10.8.5 に示すとおりである。

自然 単位 剪断 粘着力 変形係数 圧密 代表N値 抵抗角 含水比 体積重量 土層 土質記号 N 値 (平均) 特性図 C Е ωn γt (kN/m^3) (kN/m^2) (°) (%) (MN/m^2) 表土 В 15 Ac1 図 10.8.8(1) 0 0 $202 \sim 581$ 5 0 0.1 11.2 (腐植土) 第1粘性土 Ac1 図 10.8.8(2) 0 0 $62 \sim 109$ 5 0 14.5 0.1 (シルト) 参照 第1砂質土 0~10 18 0 22 As1 2.6 1.8 図 10.8.8(3) 第2粘性土 Ac2 $0 \sim 4$ 0.3 15.7 16 0 0.5 参照 第2砂質土 As2 $1 \sim 22$ 11 70 18 0 30 7.7 $2 \sim 10$ 4.6 第1砂質土 Ds1 6.6 18 0 26 第1粘性土 Dc1 $5 \sim 18$ 10.7 17 64 0 7.4 第2砂質土 Ds2 10~50≦ 24.8 18 0 37 17.3 第2粘性土 Dc29~22 15 17 90 0 10.5 第3砂質土 Ds3 9~50≦ 25 18 0 37 17.5 砂質土: Ds 0 35 粘性土 19.5 $17 \sim 18$ $6 \sim 50$ 13.6 Dc117 0 _ (互層)

表 10.8.4 土質定数一覧表

45.7 資料:「杉戸屏風深輪地区産業団地基本計画修正業務委託 基本設計報告書」

32~50≦

(平成26年3月、埼玉県企業局地域整備事務所)

45

31.9

表 10.8.5 設定に使用した相関式・換算式・推定方法

20

土質	定数		相関式・換算式・推定方法
単位体積重量	γt	kN/m³	[Ac1]層、[Ac2]層:室内土質試験結果とした。 他層:一般値を採用(経験的な値)した。
粘着力	С	kN/m²	[Ac1]層、[Ac2]層: 室内土質試験結果とした。 [As1、As2]層[Ds1、Ds2、Ds3、Ds、Ds4]層: 0 とした。 [Dc1、Dc2、Dc]層: 6 Nを基準に設定した。
せん断抵抗角	φ	度	$[Dc1,Dc2,Dc]$ 層: 0 とした。 $[[As1,As2]$ 層、 $[Ds1,Ds2,Ds3,Ds,Ds4]$ 層:大崎式により算出した。 $(\phi = \sqrt{20N} + 15)$
変形係数	Е	kN/m²	$[Ac1]$ 層、 $[Ac2]$ 層: 室内土質試験結果 (E_{50}) の最小値とした。 他層: $E=0.7\times N$ (MN/m^2) より設定した。
圧密層[Ac1、Ac2]	の圧密	特性	各層の圧密試験結果の平均値を基にした設定値とした。

資料:「杉戸屛風深輪地区産業団地基本計画修正業務委託 基本設計報告書」

(平成26年3月、埼玉県企業局地域整備事務所)

(ウ)地下水位の状況

ボーリング調査より得た地下水位は、表10.8.6に示すとおりである。

ボーリング調査位置の地下水位は、泥水を循環させず、確認できるまで無水掘進した後に確認された値である。

調査の結果、計画地北側の No. 1 や No. 2 の水位が比較的高く、最も南側の No. 5 が比較的低い地下水位を示した。

表 10.8.6 地下水位の状況

調査地点	地盤高(m)	地下水位			
柳	①*	2*	3=1+2		
No. 1	T. P. +6. 85	GL-1.01	T. P. +5. 84		
No. 2	T. P. +6. 79	GL-0.80	T. P. +5. 99		
No. 3	T. P. +6. 41	GL-0.80	T. P. +5. 61		
No. 4	T. P. +6. 60	GL-0.83	T. P. +5. 77		
No. 5	T. P. +6. 25	GL-0.80	T. P. +5. 45		

資料:※「平成22年度 地質調査業務委託(杉戸町屛風・深輪地区)報告書」 (平成23年3月、埼玉県企業局・株式会社ゼネラルボーリング)

(3) その他の予測・評価に必要な事項

①地下水利用状况

計画地が属する杉戸町の地下水採取量の推移は、表 10.8.7 及び図 10.8.4 に示すとおりである。

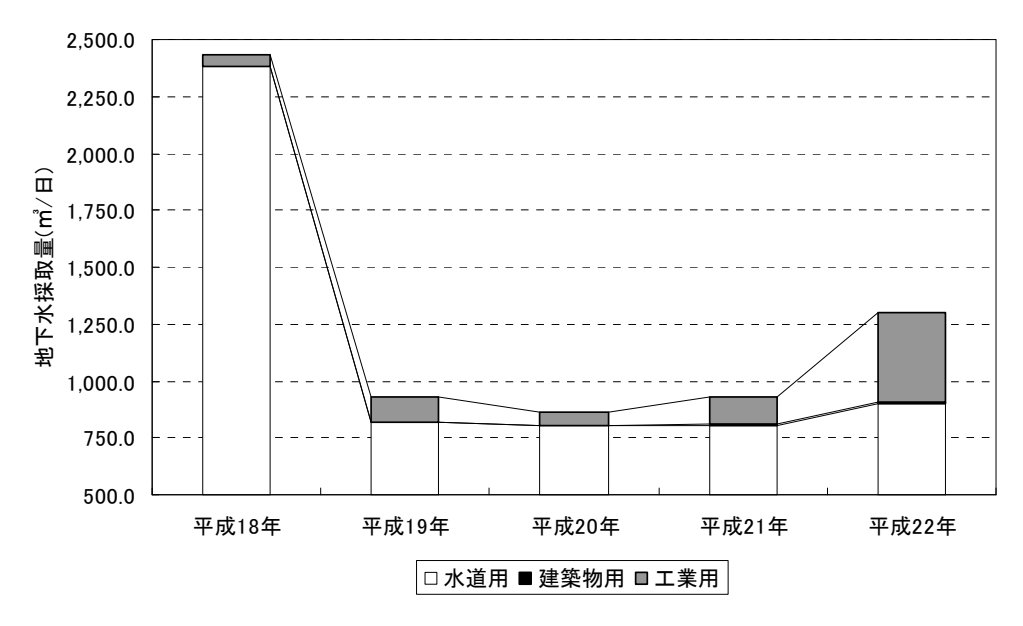
杉戸町における平成 22 年の採取量は 1,296.4 ㎡/日であった。経年変化をみると、 採取量は平成 19 年に減少、平成 21 年までは横ばい傾向であったが、平成 22 年では 増加に傾向に転じた。主な用途は水道用と工業用である。

杉戸町は、「第3章 地域特性 3-1 社会的状況 3-1-7 法令による指定及び規制等の状況 6)地盤沈下」(p.98参照)に示したとおり、「埼玉県生活環境保全条例」の地下水採取規制の第一種指定地域に指定されており、吐出口断面積の大きさにより、ストレーナーの位置や揚水量が規制されている。

			E 12 (12)	,
	水道用	建築物用	工業用	計
平成 18 年	2, 380. 0	1.0	51. 0	2, 432. 0
平成 19 年	817.0	3.0	110.0	930.0
平成 20 年	801.5	5. 5	55.8	862.8
平成 21 年	802.8	8. 9	121.5	933. 2
平成 22 年	897. 1	10.6	388.7	1, 296. 4

表 10.8.7 地下水採取量の推移(杉戸町)

資料:「地域別・市町村別地下水採取量表(東部地域・地下水採取量-杉戸町)」(埼玉県ホームページ)



資料:「地域別・市町村別地下水採取量表(東部地域・地下水採取量-杉戸町)」(埼玉県ホームページ) 図 10.8.4 地下水採取量の推移 (杉戸町)

②土地利用状況

計画地は、主として農耕地(水田)である。

計画地周辺は、北から西側は主として農耕地(水田)、計画地東側は宅地、南側は 産業団地等として利用されている。

2 予測

1) 軟弱地盤上への盛土に伴う地盤の変形の程度

(1) 予測内容

造成地の存在に伴う軟弱地盤上の盛土による圧密沈下量(盛土の荷重のみを考慮)と した。

(2) 予測方法

圧密沈下理論式を用いて予測する方法によった。

①圧密沈下理論式

圧密沈下量は次式により算定した。

$$Sc = \frac{e_0 - e_1}{1 + e_0} \times H$$

ここで

Sc:盛土荷重による軟弱粘性土の一次元圧密沈下量 (m)

 e_{\circ} : e-logP 曲線より求めた初期土被り応力(P_{\circ})に対応する初期間隙比

 e_1 : $e^{-\log P}$ 曲線より求めた盛土載荷後の地盤内応力 $(P_0 + \Delta P)$ に対応する間隙比

H:軟弱地盤層の層厚(m)

②圧密時間

圧密時間は次式により算定した。

$$t = \frac{Tv \cdot d^2}{Cv}$$

ここで

t:仮定した圧密度(U%)までに要する時間(日)

TV: 圧密度Uに対する時間係数

٠.	上田及り	/(C/)	יוא נייו ע	% ^						
	U(%)	10	20	30	40	50	60	70	80	90
	Tv	0.008	0.031	0.071	0. 126	0. 197	0. 287	0.403	0. 567	0.848

 C_{V} : 平均圧密応力 $(P_{0}+\Delta P)$ に対応する圧密係数 (cm^{2}/B)

d : 排水距離 (cm) 両面排水の場合 d=H/2、片面排水の場合 d=H (H:圧密沈下層厚) ※本事業では施工・地盤状況から片面排水とする計画である。

(3) 予測地域・地点

予測地域は、計画地の敷地境界付近を含む地域とし、予測地点は、計画地敷地境界付近のボーリング等の調査地点である No.1(1号画地)、No.2(2号画地)、No.5(4号画地)を計画地内の代表予測地点とした(調査地点は、図 10.8.1(p.430)参照)。

(4) 予測対象時期等

供用時とした。

(5) 予測条件

①盛土高さ

計画盛土高は、圧密沈下後の平均計画高を見据え、1号画地で+0.95m、2号画地で+1.00m、4号画地で+0.82mとした。

②土質定数

ア 盛土層

盛土層の土質定数は以下に示すとおりとした。

単位堆積重量	18kN/㎡ (礫混じり粘土)
粘着力	$5kN/m^2$
内部摩擦角	30°

イ 現地盤

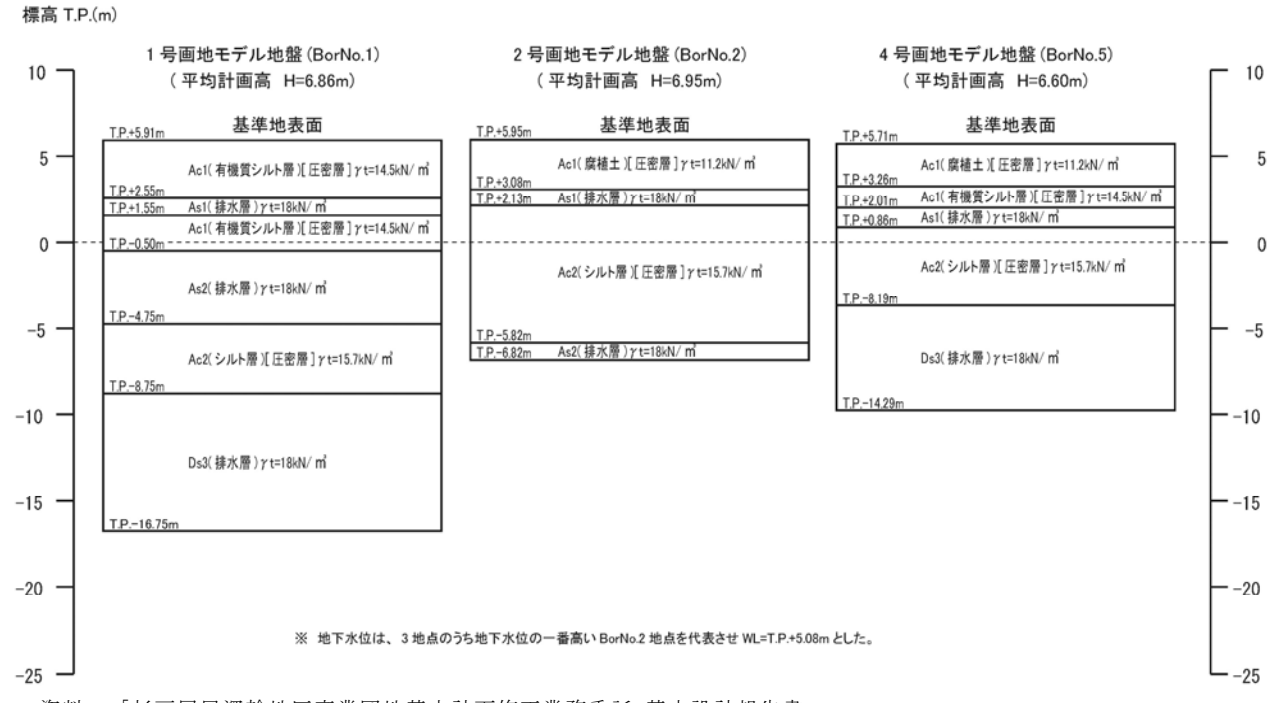
現地盤の土質定数は、表 10.8.4 に示した値とした。

また、原地盤の初期間隙比 (e_n) は、ボーリング等調査における圧密試験結果による $e^{-\log P}$ 曲線から、盛土載荷後の間隙比 (e_1) は、 p_0 (有効土かぶり圧) と $\triangle p$ (鉛 直増加応力) の和 $(p_0+\triangle p)$ に相当する $e^{-\log P}$ 曲線から求めた。圧密係数 (Cv) については、ボーリング等調査における圧密試験結果による $\log Cv^{-\log P}$ 曲線から求めた。 (表 $10.8.8(1)\sim(3)$ 参照)

なお、土の圧密試験結果の詳細は、資料編「第4章 地盤 10-1 現地調査結果 2 土の段階載荷による圧密試験」 (p. 206~220) に示すとおりである。

④ボーリングデータ

各地点の資料を用いたモデル地盤は、図10.8.5に示すとおり仮定した。



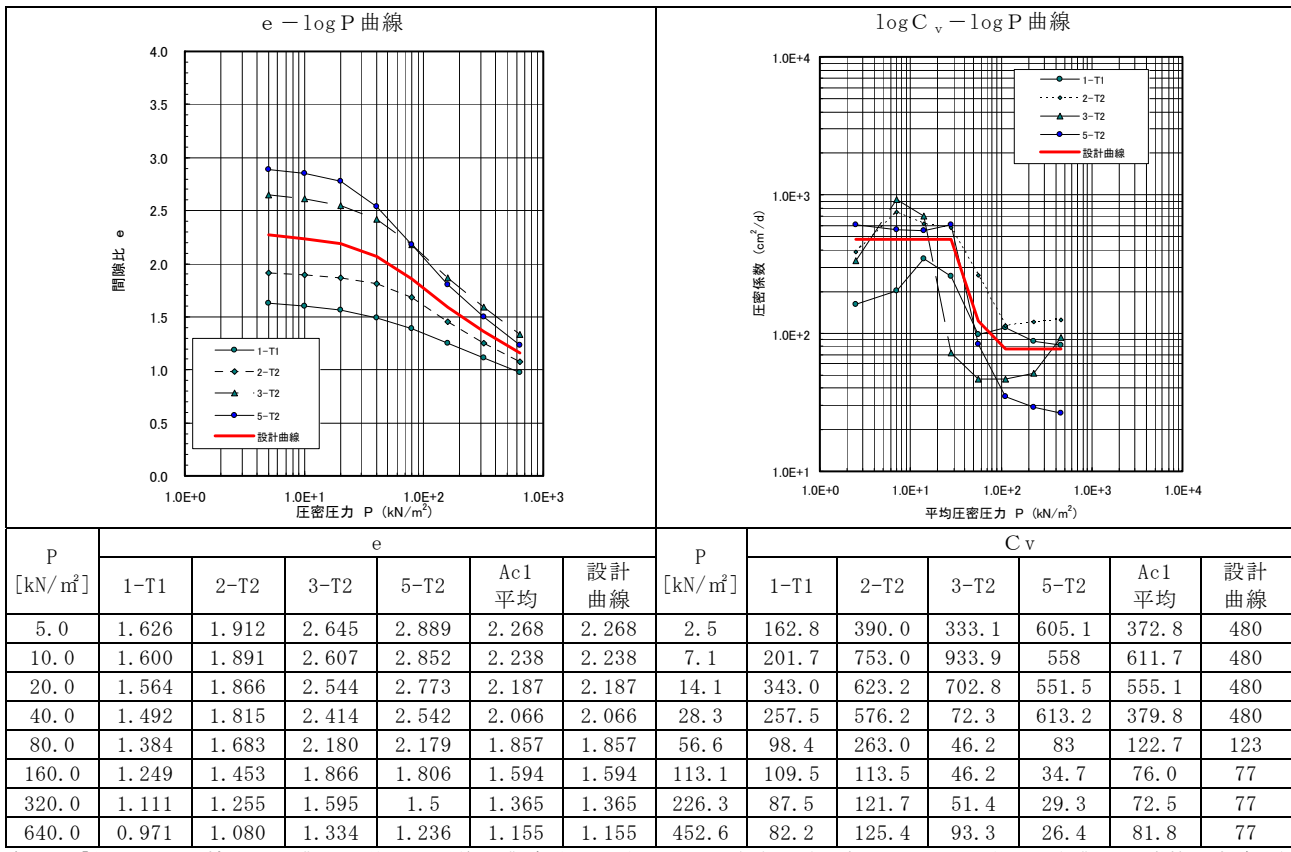
資料:「杉戸屛風深輪地区産業団地基本計画修正業務委託 基本設計報告書」 (平成 26 年 3 月、埼玉県企業局地域整備事務所)

図 10.8.5 モデル地盤

e -logP曲線 logC v-logP曲線 12.0 1.0E+4 **--** 2−T1 10.0 **--** 3−T1 ---- 4-T1 **≭** 5-T1 - 設計曲線 8.0 1.0E+3 (cm^2/d) 間隙比 6.0 圧密係数 4.0 1.0E+2 **--** 2−T1 ---- 3-T1 **--** 4−T1 2.0 **─** 5-T1 --設計曲線 1.0E+1 0.0 1.0E+0 1.0E+1 1.0E+2 1.0E+3 1.0E+4 1.0E+0 1.0E+1 1.0E+2 圧密圧力 P (kN/m²) 1.0E+3 平均圧密圧力 P (kN/m²) Сv е Р Р 設計 設計 Ac1-1 層 Ac1-1 層 $[kN/m^2]$ 4-T1 $[kN/m^2]$ 5-T1 2-T1 3-T1 4-T2 5-T1 2-T1 3-T1 4-T1 4-T2 平均 曲線 平均 曲線 2.5 10.680 5.671 5.074 5.901 5.634 6.592 6.592 1.3 1956.0 1254.0 532.4 848.9 956.8 1110 1165 10.539 5.035 6.527 3.5 1777.5 1230.0 1875.9 5.0 5.631 5.846 5.584 6.527 340.1 880.1 1221 1165 10.0 10.281 5.557 4.962 5.718 5.528 6.409 6.409 7.1 1513.5 764.4 1143.4 798.4 738.3 992 992 20.0 9.640 5.400 4.781 5.416 5.388 6.125 6.125 14.1 1264.3 454.1 333.1 350.3 669.9 614 614 28.3 40.0 8.207 4.9654.2994.663 5.001 5.427 5.427 1115.5 253.4 126.5 86.6 413.4 399 399 80.0 6.174 3.935 3.457 3.653 4.168 4.277 4.277 56.6 233. 3 40.5 49.8 42.7 157.5 105 105 2.865 160.0 4.682 3.078 2.730 3.382 3.347 3.347 113.1 88.6 23.2 21.0 24.5 59.5 43 43 320.0 3.4952.3792.120 2.213 2.709 2.583 2.583 226.3 27.9 14.5 19.7 17.9 43.1 25 資料:「杉戸屏風深輪地区産業団地基本計画修正業務委託 基本設計報告書」(平成26年3月、埼玉県企業局地域整備事務所)

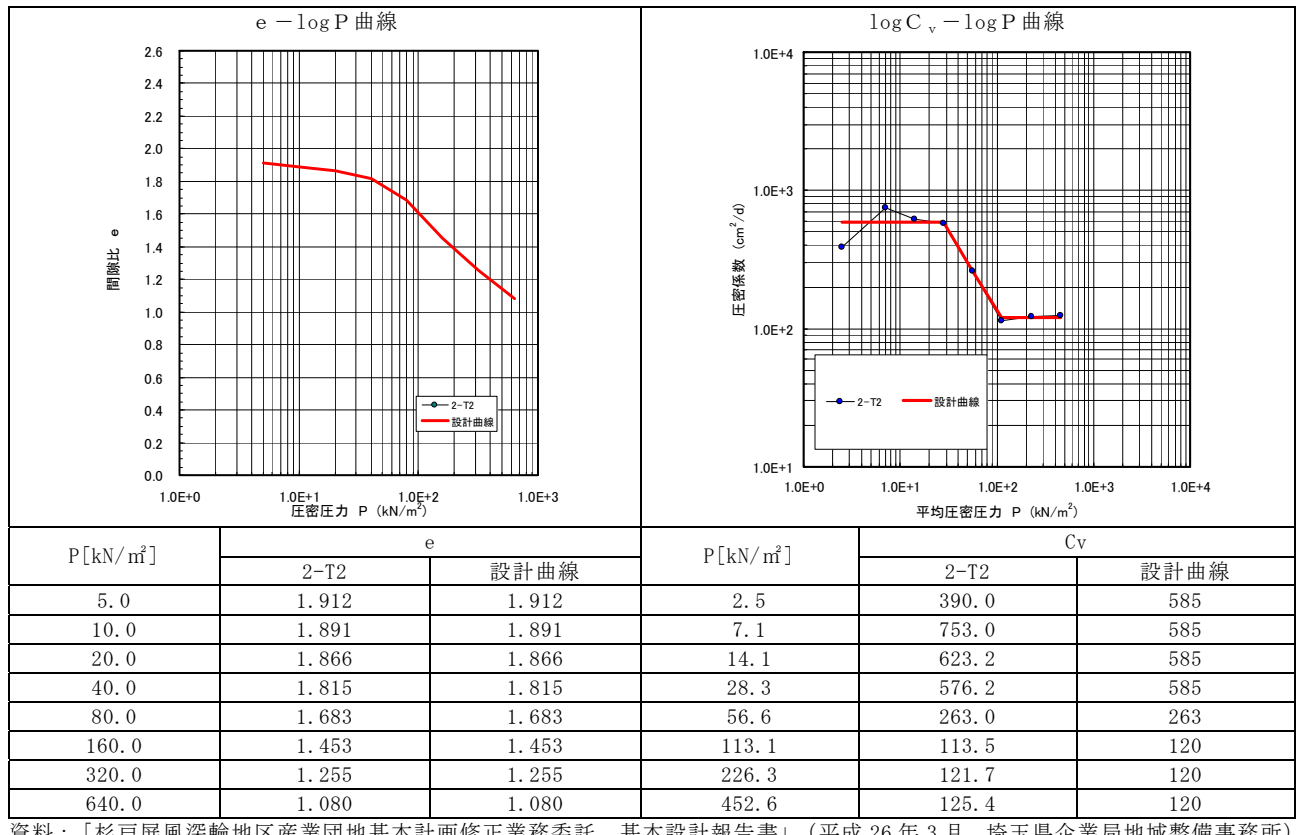
表 10.8.8(1) 沖積第1粘性土[腐植土: Ac1 腐植土]の圧密特性図

表 10.8.8(2) 沖積第1粘性土[有機質シルト: Ac1_有機質土] の圧密特性図



資料:「杉戸屏風深輪地区産業団地基本計画修正業務委託 基本設計報告書」(平成 26 年 3 月、埼玉県企業局地域整備事務所)

表 10.8.8(3) 沖積第2粘性土層[Ac2_シルト]の圧密特性図



資料:「杉戸屏風深輪地区産業団地基本計画修正業務委託 基本設計報告書」(平成26年3月、埼玉県企業局地域整備事務所)

(6) 予測結果

盛土による圧密沈下量及び圧密時間の予測結果は表 10.8.9、各画地における盛土による圧密沈下量と経過日数の推移は図 10.8.6(1)~(3)に示すとおりである。

圧密沈下量は35.4~38.6cm (平均:37.2cm) であり、土層構成の違いも要因にはなるが、盛土に対し、概ね30%程度が沈下する傾向が見られた(=最終圧密沈下量/設計盛土厚)。

盛土後、圧密度が80%を超える期間は、1号画地で2ヶ月弱、2号画地で4ヶ月程度、4号画地で7ヶ月程度と想定された。また、さらに沈下が進み、残留沈下量が5cmとなる圧密期間は、1号画地で2ヶ月半程度、2号画地で7ヶ月程度、4号画地で10ヶ月半程度であり、1年以上経過すると、全ての地点で圧密沈下の大半は収束するものと予測する。なお、4号画地盛土は早い段階で実施する計画としており、基盤整備工事完了後まで11ヶ月程度の期間が確保されている(「表2.11.1 工事工程表」p.33参照)。

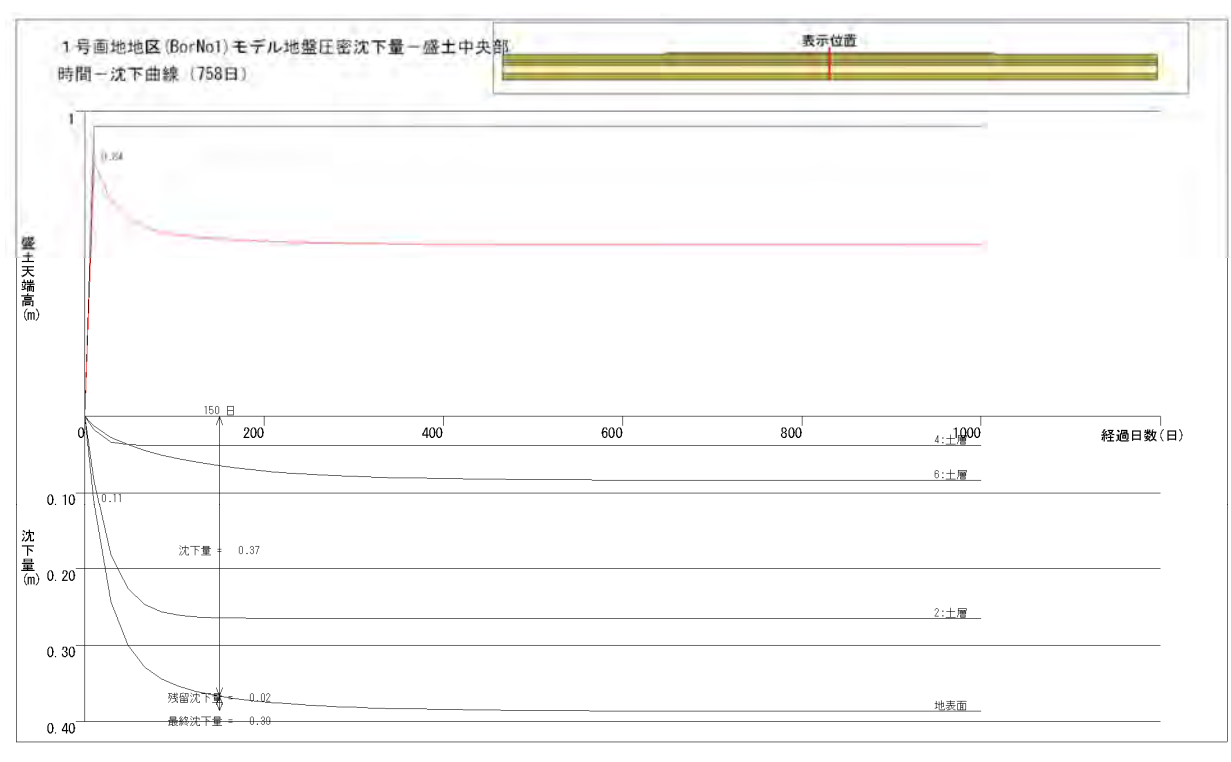
	平均	平均	計画	最終圧密	設計	归	E密時間(日)
地点	地表面 T. P(m)	計画高 T.P(m)	配土高 H(m)	沈下量 Sc(m)	盛土厚 D(m)	残留 沈下量 Sf=5cm	圧密度 80%	圧密度 90%
	1	2	3=2-1	4	5=3+4			
1 号画地	5. 91	6.86	0.95	0.386	1.34	75	53	81
2 号画地	5. 95	6. 95	1.00	0.377	1.38	210	123	270
4 号画地	5.71	6. 53	0.82	0.354	1. 17	317	211	424

表 10.8.9 盛土による圧密沈下量及び圧密時間

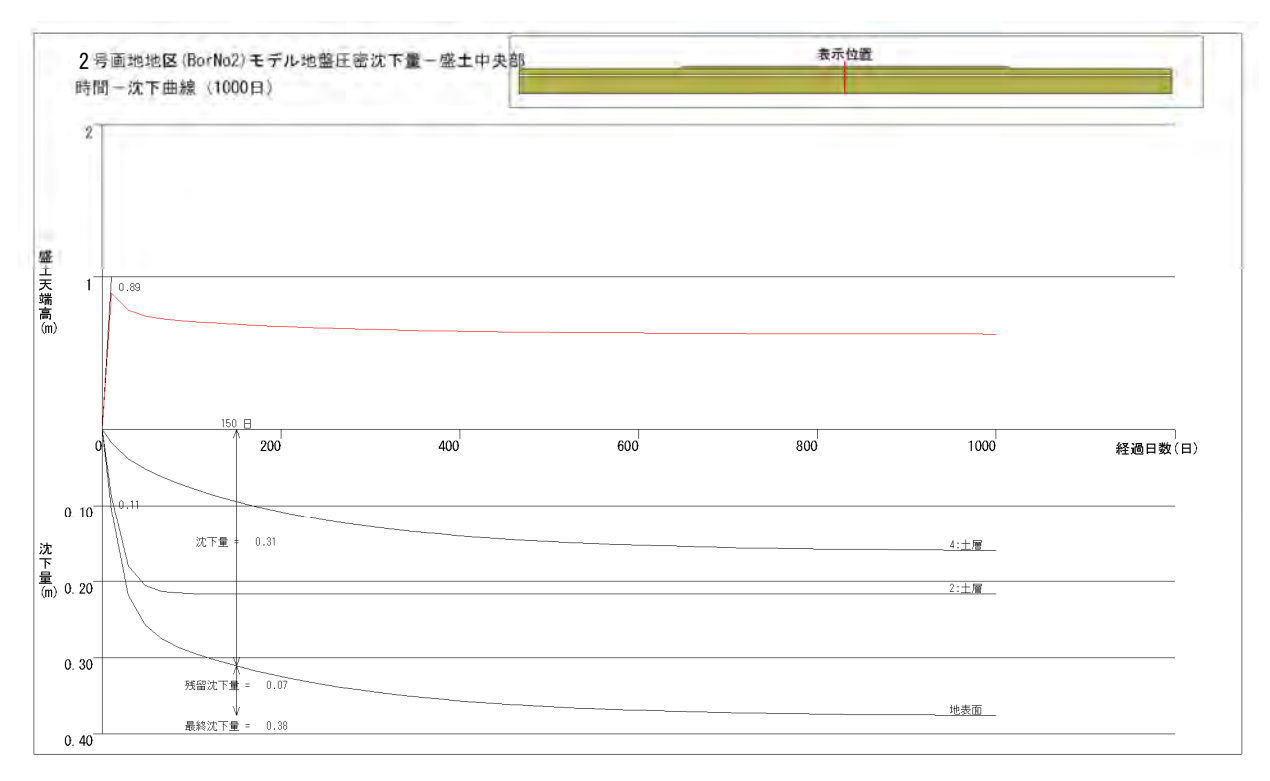
注)圧密時間に盛土工事の日数は含んでいない。

資料:「杉戸屏風深輪地区産業団地基本計画修正業務委託 基本設計報告書」

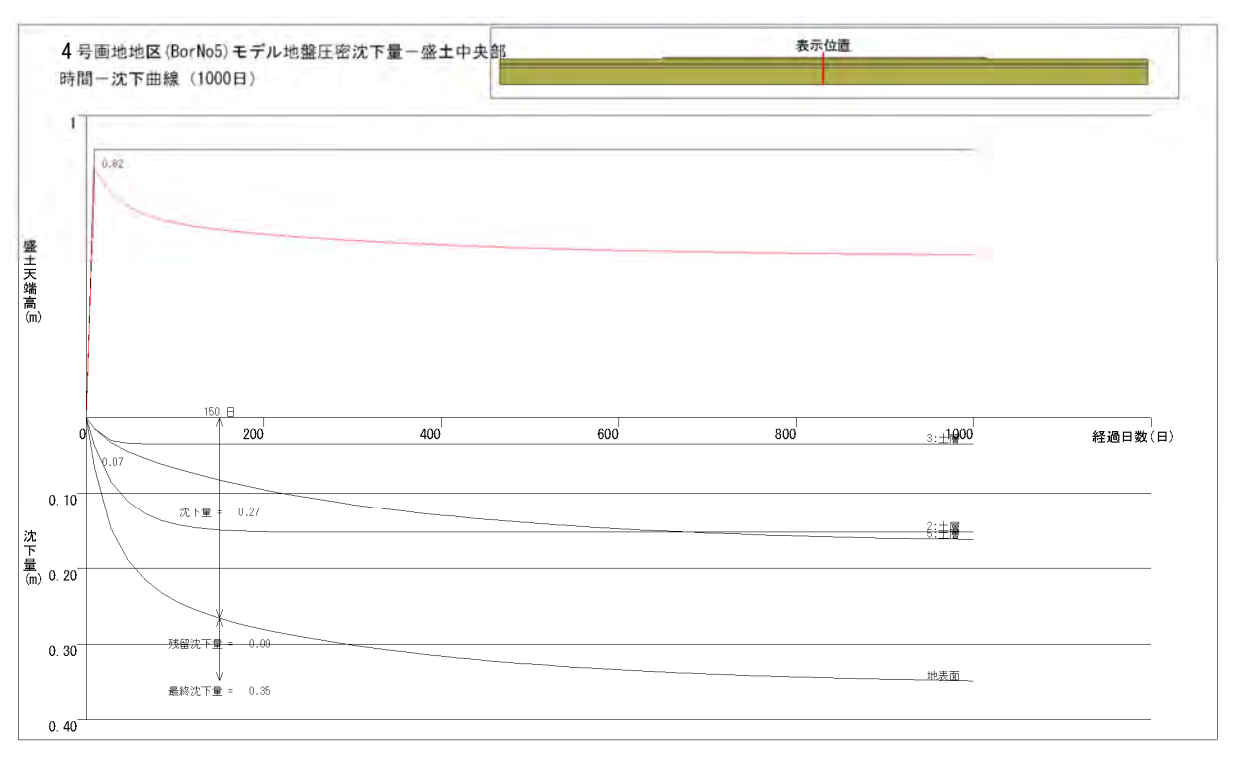
(平成26年3月、埼玉県企業局地域整備事務所)



資料:「杉戸屏風深輪地区産業団地基本計画修正業務委託 基本設計報告書」(平成26年3月、埼玉県企業局地域整備事務所) 図 10.8.6(1) 1号画地における盛土による圧密沈下量と経過日数の推移



資料:「杉戸屛風深輪地区産業団地基本計画修正業務委託 基本設計報告書」(平成26年3月、埼玉県企業局地域整備事務所) 図10.8.6(2) 2号画地における盛土による圧密沈下量と経過日数の推移



資料: 「杉戸屏風深輪地区産業団地基本計画修正業務委託 基本設計報告書」 (平成 26 年 3 月、埼玉県企業局地域整備事務所) 図 10.8.6(3) 4号画地における盛土による圧密沈下量と経過日数の推移

3 評価

1) 軟弱地盤上への盛土等による地盤の変形の程度及び範囲

(1) 評価方法

①回避・低減の観点

地盤への影響が、事業者の実行可能な範囲内でできる限り回避され、又は低減されているかどうかを明らかにした。

②基準・目標等との整合の観点

表 10.8.10 に示す基準・目標等との整合が図られているかどうかを明らかにした。

表 10.8.10 地盤に係る整合を図るべき基準等

項目	整合を図るべき基準・目標等
軟弱地盤上への盛土等 による地盤の変形の程 度及び範囲	「設計要領(道路編)平成24年4月改訂版」の第4章 軟弱地盤対策にある「供用時期が決まっていない場合の放置期間の設定は、基礎地盤の圧密度が80~90%となるまでとする。」を踏まえ、以下のとおりとする。 ・造成工事完了時点で80%以上の圧密度を確保すること

(2) 評価結果

①回避・低減の観点

予測の結果、計画地内において平均 37.2cmの圧密沈下の発生を予測したため、盛土 後の放置期間をできるだけ確保した工事工程を検討するなどの表 10.8.11 に示す環境 保全措置を講ずることで造成完了後の変形防止に努める。

また、本事業では工事中、供用時ともに地下水採取を行わず、水循環の健全化・地 盤環境の保全に努める。

これらのことから、軟弱地盤に及ぼす影響は、事業者の実行可能な範囲内で回避または低減できるものと評価する。

表 10.8.11 造成地の存在(地盤)に対する環境保全措置

影響 要因	影響	検討の 視点	環境保全措置	措置の 区分	実施主体
造成地の 存在	地盤沈下	周辺地盤の 変形防止	・詳細設計時には、圧密沈下の促進を念頭においた対策工を検討する。 ・盛土後の放置期間をできるだけ確保した工事工程の検討を行う。 ・進出企業に対し、圧密沈下量を想定した建築工事計画を立てるよう、助言・指導する。	低減	事業者 事業者 (具体的な 実施は進 出企業)
		地下水採取 の抑制	・工事中、供用時ともに地下水採取は行わない。	回避	事業者・ 進出企業

②基準・目標等との整合の観点

整合を図るべき基準等と予測結果との比較は表 10.8.12 に示すとおりであり、本事業による軟弱地盤上への盛土等による地盤の予測結果は、整合を図るべき基準等との整合が図れていると評価する。

表 10.8.12 地盤の予測結果と整合を図るべき基準等との比較

項目		予測結果・環境保	整合を図るべき基準・目標等	
軟弱地盤上 への盛土等		に達する必要期間	盛土後、造成工事完了 までの期間	・造成工事完了時点で 80%
による地盤	1号画地	約2ヶ月	約5ヶ月	以上の圧密度を確保する
の変形の範 囲及び程度	2 号画地 4 号画地	約 4 ヶ月 約 7 ヶ月	約 9 ヶ月 約 11 ヶ月	こと